

# SUPPRESSION DE LIGNE DE BASE ET DÉBRUITAGE DE CHROMATOGRAMMES PAR PÉNALISATION ASYMÉTRIQUE DE POSITIVITÉ ET DÉRIVÉES PARCIMONIEUSES (BEADS)

Laurent Duval<sup>1</sup>, Aurélie Pirayre<sup>1</sup>, Xiaoran Ning<sup>2</sup> et Ivan W. Selesnick<sup>2</sup>

<sup>1</sup> IFP Energies nouvelles, 92852 Rueil-Malmaison Cedex, France

<sup>2</sup> Polytechnic School of Engineering, New York University, Brooklyn, NY 11201, USA

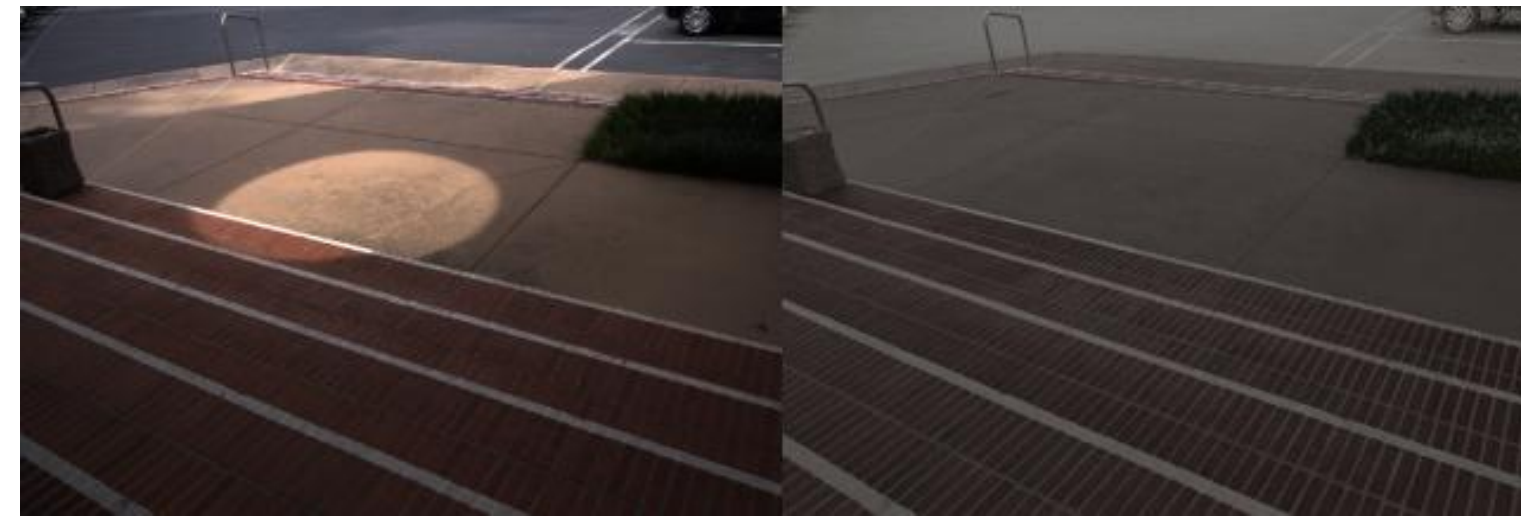
## BEADS, en très rapide

- Question : où se cache le collier derrière la perle ?
- Réponse : linéarité, parcimonie, positivité, asymétrie



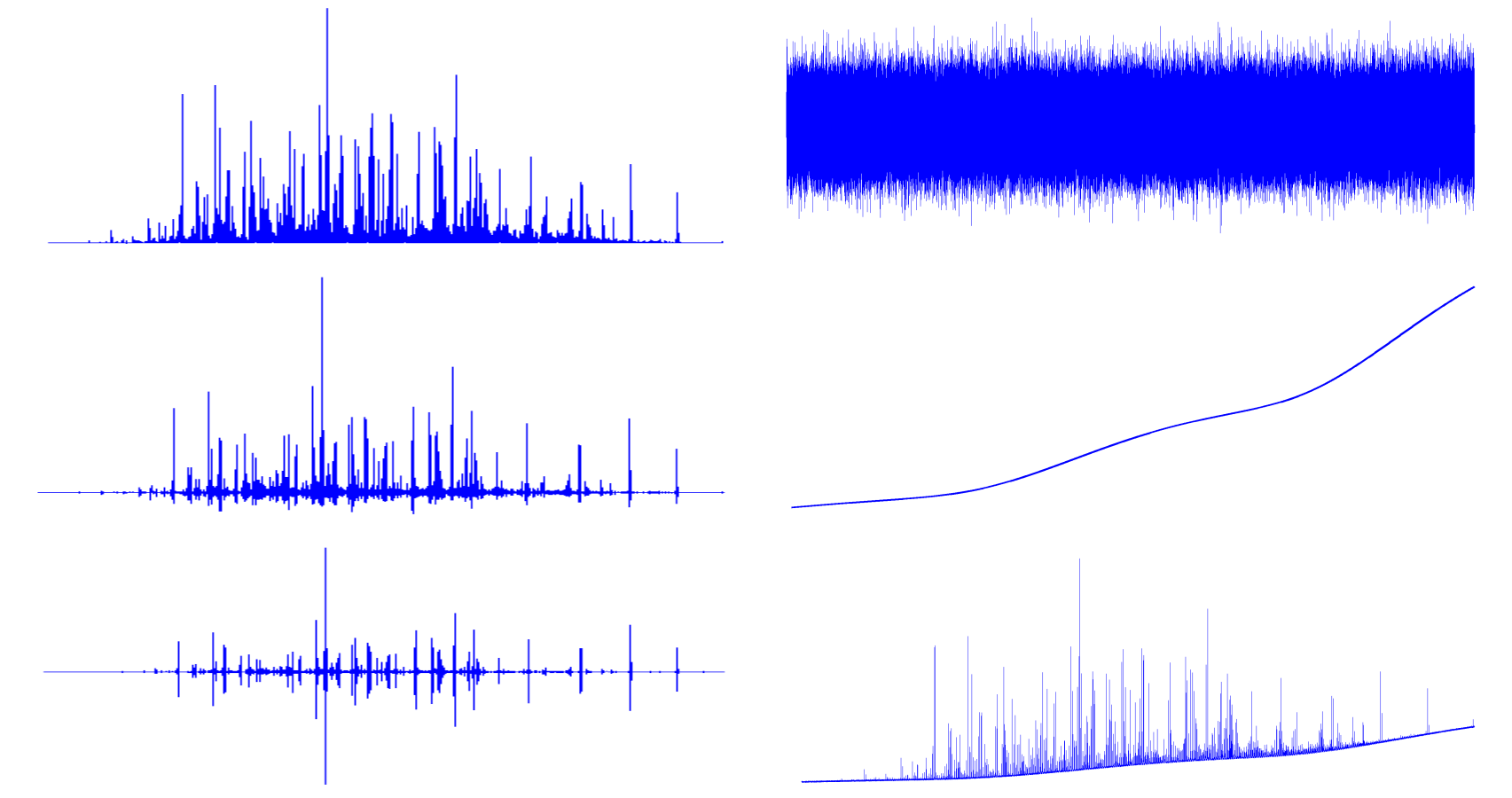
Boîte à outils Matlab™ : <http://lc.cx/beads>

## Le fond du fond



- Sujet : arrière-plan et évaluation/comparaison quantitatives
- Biais (instrumental), tendance (saisonnière), fond
- Physico-chimie : bruit de fond, dérive, ligne de base, continu
- Modélisation paramétrique peu fréquente ou fiable

## Signaux élémentaires



## Éléments-clefs

- Séparation conjointe de trois composantes morphologiques
- Parcimonie des dérivées successives, positivité relative
- Résolution par minimisation-majoration
- Matrices de filtrage en bande : simplicité algorithmique et signaux longs

## Hypothèses

- Régularité : sans éléments saillants  $\mathbf{p}$  (estimés), le fond peut être estimé  $\hat{\mathbf{l}}$  par filtrage passe-bas
- $\hat{\mathbf{l}} = \mathbf{L}(\mathbf{c} - \hat{\mathbf{p}})$  ( $\mathbf{L}$  : filtre passe-bas), formulé par le résidu  $\|\mathbf{c} - \hat{\mathbf{s}}\|_2^2 = \|\mathbf{H}(\mathbf{c} - \hat{\mathbf{p}})\|_2^2$ ,
- $\mathbf{H} = \mathbf{I} - \mathbf{L}$  : filtre passe-haut.

## Notations des signaux

Décomposition :  $\mathbf{c} = \mathbf{p} + \mathbf{l} + \mathbf{b}$ ,  $(\mathbf{c}, \mathbf{p}, \mathbf{l}, \mathbf{b}) \in (\mathbb{R}^N)^4$ .

- $\mathbf{p}$  : pics sans bruit, dérivées première et seconde (gauche),
- $\mathbf{b}$  : bruit (haut, droite),
- $\mathbf{l}$  : ligne de base (centre, droite),
- $\mathbf{c}$  : observation (bas, droite).

## Formulation

L'estimation de  $\hat{\mathbf{p}}$  et  $\hat{\mathbf{l}}$  peut s'obtenir ( $\mathbf{D}_i$  : opérateurs de différences finies) via :

$$\hat{\mathbf{p}} = \arg \min_{\mathbf{p}} \left\{ F(\mathbf{p}) = \frac{1}{2} \|\mathbf{H}(\mathbf{c} - \mathbf{p})\|_2^2 + \lambda_0 \sum_{n=0}^{N-1} \theta_\epsilon(x_n; r) + \sum_{i=1}^M \lambda_i \sum_{n=0}^{N_i-1} \phi([\mathbf{D}_i \mathbf{p}]_n) \right\},$$

$$\hat{\mathbf{l}} = (\mathbf{D}_0 - \mathbf{H})(\mathbf{c} - \hat{\mathbf{p}}).$$

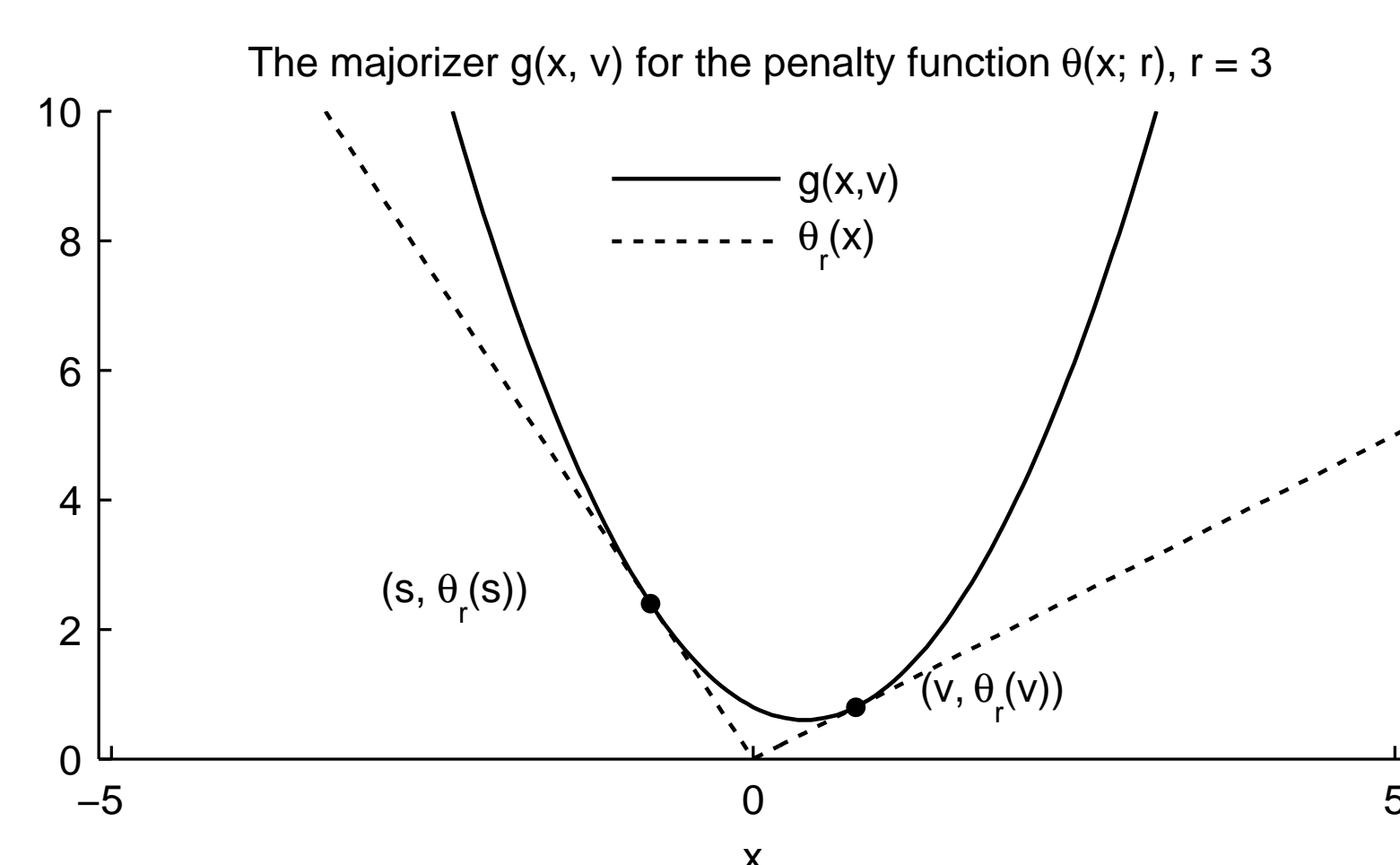
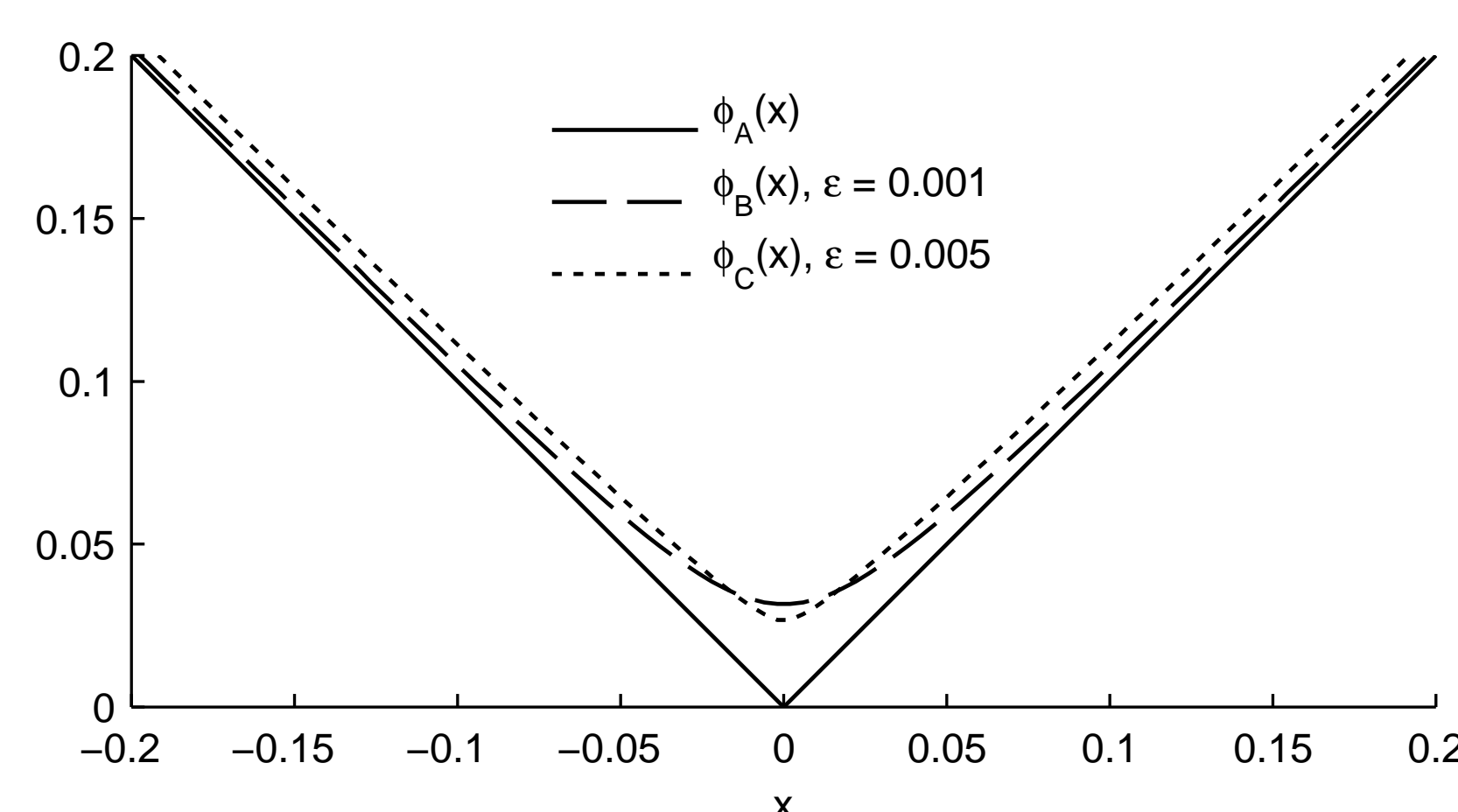
Une majorante de  $F(\mathbf{p})$  [1] est  $G(\mathbf{p}, \mathbf{v})$  :

$$\frac{1}{2} \|\mathbf{H}(\mathbf{c} - \mathbf{p})\|_2^2 + \lambda_0 \mathbf{p}^T [\mathbf{T}(\mathbf{v})] \mathbf{p} + \lambda_0 \mathbf{b}^T \mathbf{p} + \sum_{i=1}^M \left[ \frac{\lambda_i}{2} (\mathbf{D}_i \mathbf{p})^T [\mathbf{A}(\mathbf{D}_i \mathbf{v})] (\mathbf{D}_i \mathbf{p}) \right] + c(\mathbf{v}),$$

minimisée explicitement par :

$$\mathbf{p} = \left[ \mathbf{H}^T \mathbf{H} + 2\lambda_0 \mathbf{T}(\mathbf{v}) + \sum_{i=1}^M \lambda_i \mathbf{D}_i^T [\mathbf{A}(\mathbf{D}_i \mathbf{v})] \mathbf{D}_i \right]^{-1} (\mathbf{H}^T \mathbf{H} \mathbf{c} - \lambda_0 \mathbf{b}).$$

## Lissage et majoration



$$g_0(x, v) = \begin{cases} \frac{1+r}{4|v|} x^2 + \frac{1-r}{2} x + |v| \frac{1+r}{4}, & |v| > \epsilon, \\ \frac{1+r}{4\epsilon} x^2 + \frac{1-r}{2} x + \epsilon \frac{1+r}{4}, & |v| \leq \epsilon. \end{cases}$$

$$\sum_{n=0}^{N-1} g_0(x_n, v_n) = \mathbf{p}^T [\mathbf{T}(\mathbf{v})] \mathbf{p} + \mathbf{b}^T \mathbf{p} + c(\mathbf{v}) \geq \sum_{n=0}^{N-1} \theta_\epsilon(x_n; r).$$

## Filtres

- Filtres à phase nulle, non-causaux, récurrents
  - Ordre  $2d$ , fréquence de coupure  $f_c$
  - Produit de matrices en bande (solveurs rapides)
- $$\mathbf{H} = \mathbf{A}^{-1} \mathbf{B} \approx \mathbf{B} \mathbf{A}^{-1} \quad (\text{matrices finies})$$

## Algorithme

Entrées :  $\mathbf{c}$ ,  $r \geq 1$ ,  $\mathbf{A}$ ,  $\mathbf{B}$ ,  $\lambda_i$ ,  $i = 0, \dots, M$

1.  $[\mathbf{b}]_n = \frac{1-r}{2}$
  2.  $\mathbf{d} = \mathbf{B}^T \mathbf{B} \mathbf{A}^{-1} \mathbf{c} - \lambda_0 \mathbf{A}^T \mathbf{b}$
  3.  $\mathbf{p} = \mathbf{c}$  (Initialisation)
- Itérer
4.  $[\mathbf{T}]_{n,n} = \begin{cases} \frac{1+r}{4|x_n|}, & |x_n| \geq \epsilon \\ \frac{1+r}{4\epsilon}, & |x_n| < \epsilon \end{cases}$
  5.  $[\mathbf{A}]_{i,n,n} = \frac{\phi'([\mathbf{D}_i \mathbf{p}]_n)}{[\mathbf{D}_i \mathbf{p}]_n}$ ,  $i = 0, \dots, M$ ,
  6.  $\mathbf{M} = 2\lambda_0 \mathbf{T} + \sum_{i=1}^M \lambda_i \mathbf{D}_i^T \mathbf{A}_i \mathbf{D}_i$
  7.  $\mathbf{Q} = \mathbf{B}^T \mathbf{B} + \mathbf{A}^T \mathbf{M} \mathbf{A}$
  8.  $\mathbf{p} = \mathbf{A} \mathbf{Q}^{-1} \mathbf{d}$
- Jusqu'à convergence
9.  $\mathbf{l} = \mathbf{c} - \mathbf{p} - \mathbf{B} \mathbf{A}^{-1} (\mathbf{c} - \mathbf{p})$
- Sorties :  $\mathbf{p}$ ,  $\mathbf{l}$

## Pénalités

Pénalités promotrices de parcimonie :

- symétriques :
  - $\phi_A : |x|$  (non-dérivable),
  - $\phi_B : \sqrt{|x|^2 + \epsilon}$ ,
  - $\phi_C : |x| - \epsilon \log(|x| + \epsilon)$ ,
- asymétriques :
  - $\theta_\epsilon : \begin{cases} x, & x > \epsilon \\ \frac{1+r}{4\epsilon} x^2 + \frac{1-r}{2} x + \epsilon \frac{1+r}{4}, & |x| \leq \epsilon \\ -rx, & x < -\epsilon \end{cases}$

## Ingrédients

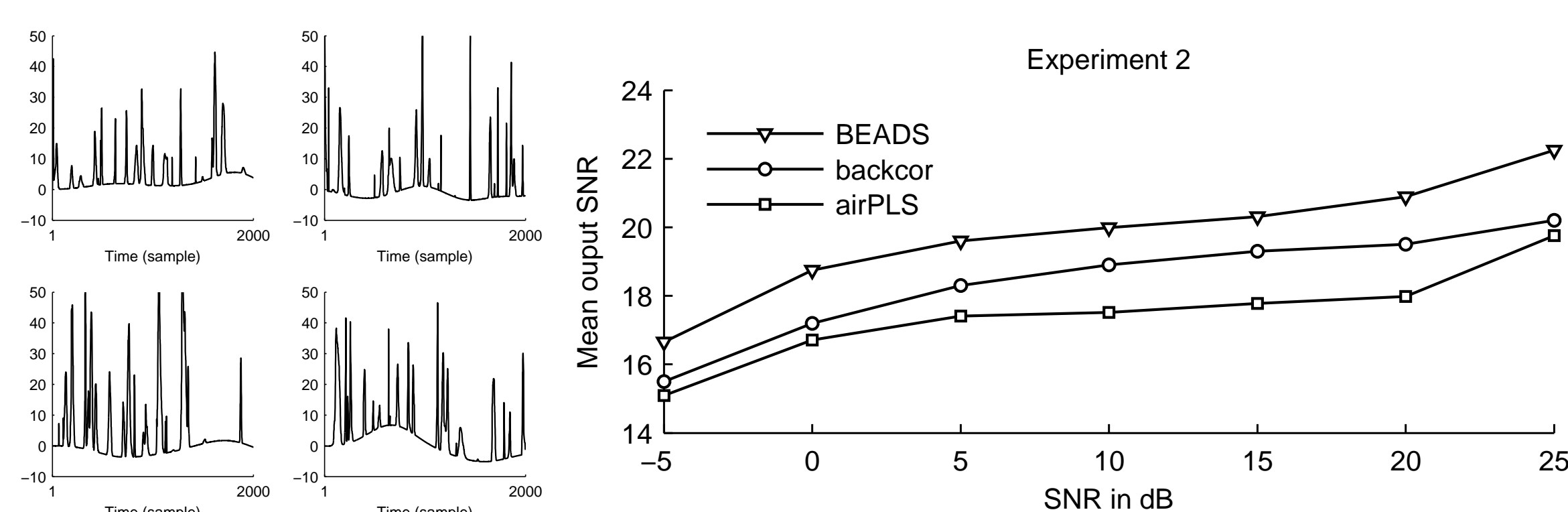
$$[\mathbf{T}(\mathbf{v})]_{n,n} = \begin{cases} \frac{1+r}{4|v_n|}, & |v_n| \geq \epsilon, \\ \frac{1+r}{4\epsilon}, & |v_n| < \epsilon, \end{cases}$$

$$[\mathbf{b}]_n = \frac{1-r}{2},$$

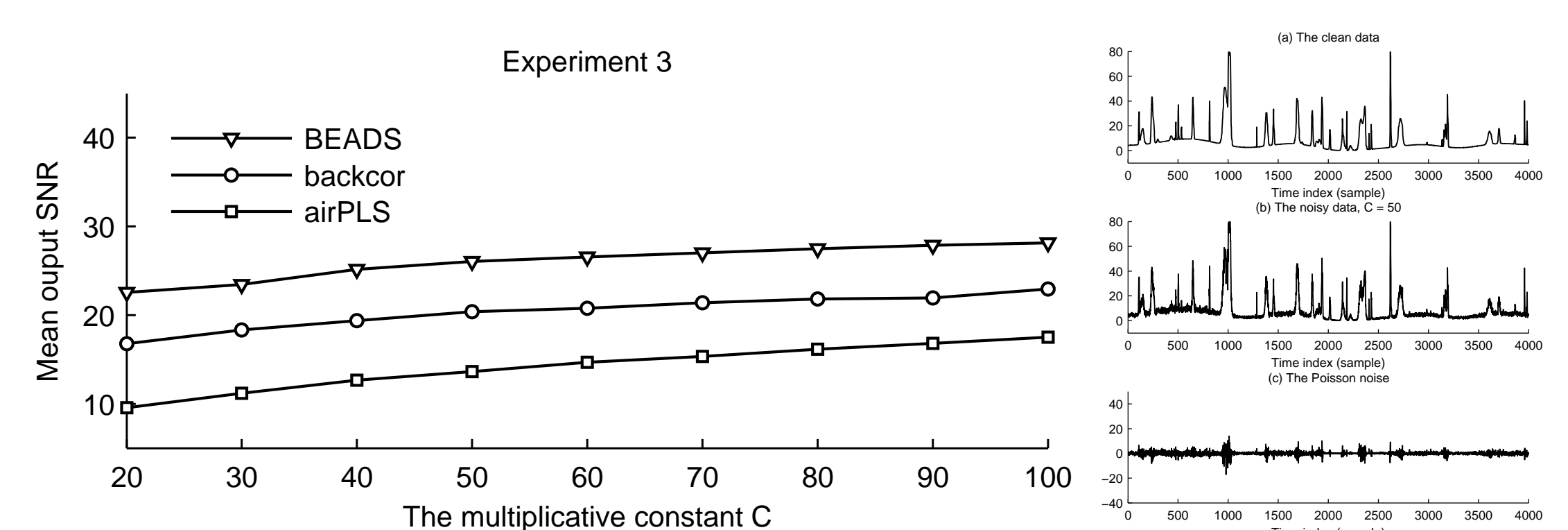
$$[\mathbf{A}(\mathbf{v})]_{n,n} = \frac{\phi'(v_n)}{v_n},$$

$$c(\mathbf{v}) = \sum_n \left[ \phi(v_n) - \frac{v_n}{2} \phi'(v_n) \right].$$

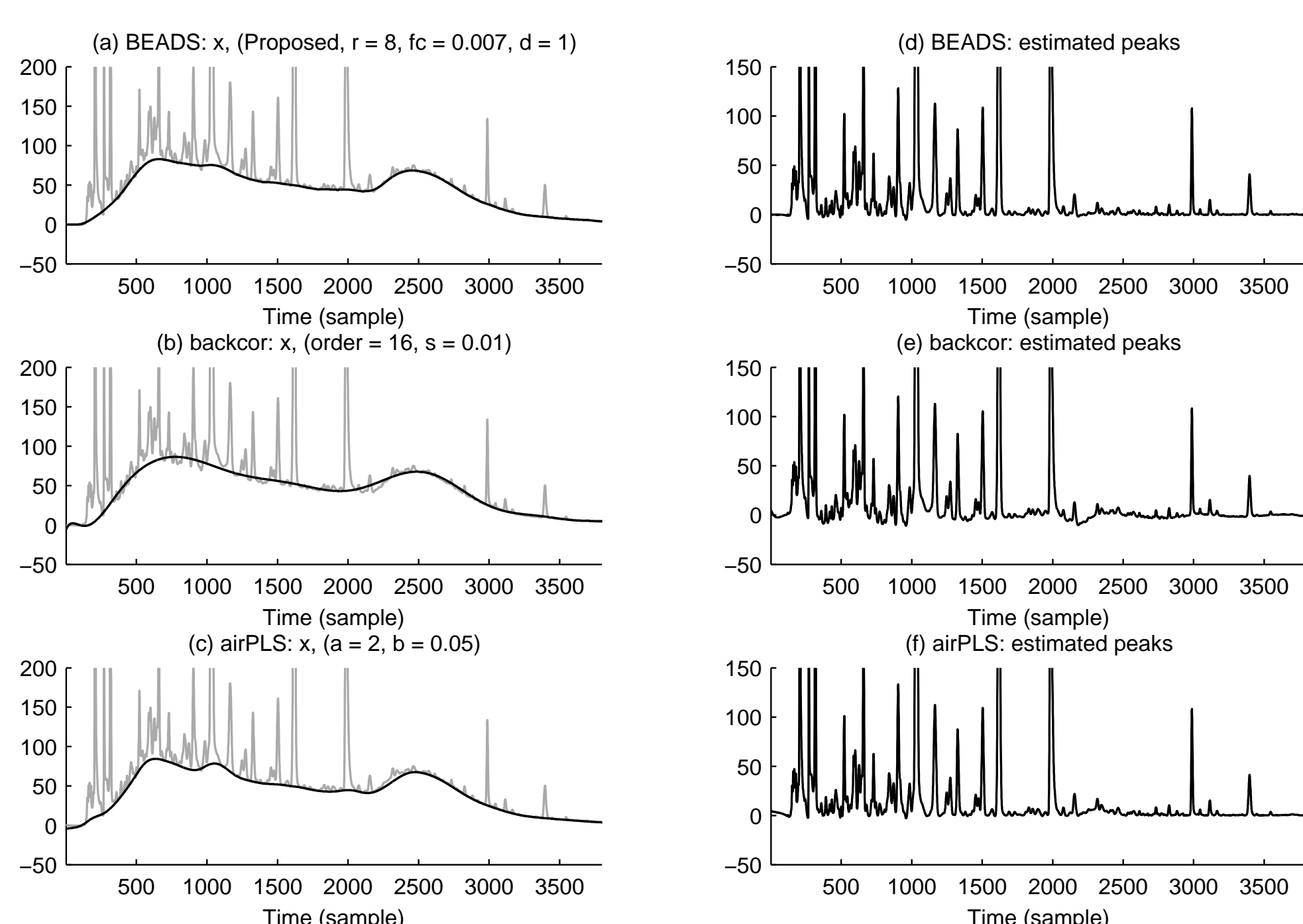
## Évaluation comparative [1, 2, 3], cas gaussien



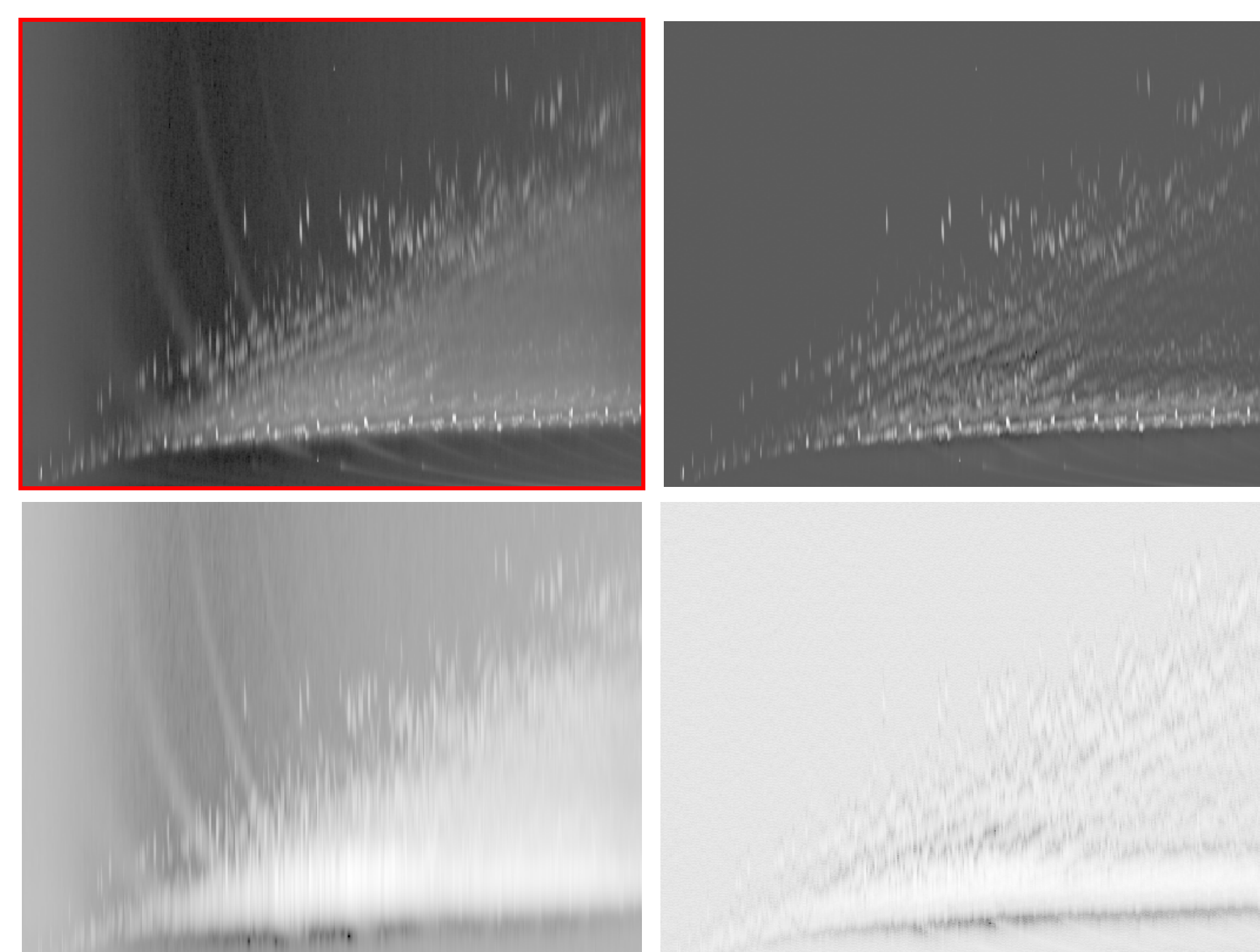
## Évaluation comparative [1, 2, 3], cas Poisson



## Chromatogrammes réels 1D



## Chromatogrammes réels 2D [4]



## Conclusions

- Bons résultats d'estimation jointe, faible variance
- Faibles besoins en mémoire
- Couplage en déconvolution parcimonieuse en rapport  $\ell_1/\ell_2$  [5]
- Extension en deux dimensions pour l'image
- Applications : chimie, biomédical (ECG, EEG)

## Références

- [1] X. Ning, I. W. Selesnick, and L. Duval. Chromatogram baseline estimation and denoising using sparsity (BEADS). *Chemometr. Intell. Lab. Syst.*, 139:156–167, Dec. 2014.
- [2] V. Mazet, C. Carteret, D. Brie, J. Idier, and B. Humbert. Background removal from spectra by designing and minimising a non-quadratic cost function. *Chemometr. Intell. Lab. Syst.*, 76(2) :121–133, 2005.
- [3] Z.-M. Zhang, S. Chen, and Y.-Z. Liang. Baseline correction using adaptive iteratively reweighted penalized least squares. *Analyst*, 135(5) :1138–1146, 2010.
- [4] C. Vendevre, R. Ruiz-Guerrero, F. Bertoncini, L. Duval, and D. Thiébaud. Comprehensive two-dimensional gas chromatography for detailed characterisation of petroleum products. *Oil Gas Sci. Tech.*, 62(1) :43–55, 2007.
- [5] A. Repetti, M. Q. Pham, L. Duval, E. Chouzenoux, and J.-C. Pesquet. Euclid in a taxicab : Sparse blind deconvolution with smoothed  $\ell_1/\ell_2$  regularization. *IEEE Signal Process. Lett.*, 22(5) :539–543, May 2015.